脳循環予備能評価における ARG モデル 1 点動脈血, 1 点静脈血補正法の検討

―無作為サンプルへの順応性の検証―

 恒川
 明和¹⁾
 奥村
 恭己¹⁾
 川地
 俊明¹⁾

 中村
 学¹⁾
 古川
 雅一¹⁾
 丹羽
 文彦¹⁾

 西脇
 弘純¹⁾
 曽根
 康博²⁾
 雄山
 博文³⁾

 鬼頭
 晃³⁾

- 1) 大垣市民病院 診療検査科
- 2) 大垣市民病院 放射線科
- 3) 大垣市民病院 脳神経外科

Brain Blood Flow Quantity Method with Fixed Quantity-Vein Blood One Point Blood Collection by Time Series Medicine Movement Analysis in Brain

Akikazu Tsunekawa¹⁾, Yasuki Okumura¹⁾, Toshiaki Kawachi¹⁾, Manabu Nakamura¹⁾, Masakazu Furukawa¹⁾, Fumihiko Niwa¹⁾, Hirozumi Nishiwaki¹⁾, Yasuhiro Sone²⁾, Hirofumi Oyama³⁾ and Akira Kitou³⁾

- l) Department of Radiological Technology, Ogaki Municipal Hospital
 - 2) Department of Radiology, Ogaki Municipal Hospital
- 3) Department of Cranial Nerve Surgery, Ogaki Municipal Hospital

(article received: Oct 27, 2015)

Summary

Microsphere model with SPECT images has been appreciated as a convention cerebral blood flow calculation although it requires arterial blood sampling. In late years one point of artery drawing blood drawing Autoradiography is also utilized as simple method. In this study we report a navel, minimally invasive method of corrected venous blood sampling ARG and its precision assessment. Intravenous 123 I-labeled N-isopropyl-p-iodamphetamine (IMP) was administered and subsequently dynamic brain imaging has been captured for the next 18 minutes. Then, an arterial blood was drown 10 minutes after IMP injection, followed by venous blood sampling 43 minutes after the injection. We estimated arterial blood count from amount of radioactivity and venous blood count using multiple liner regression analysis; 18 covariates of cerebral time series, and one covariate of venous blood count. Thirty four patients random cases of 139 cases presented with major cerebral artery occlusion disease. The actual artery blood sampling count was highly correlated to the estimated artery count with correlation coefficient of r=0.884. In addition, we extracted 22 random cases and model an estimated precision was assessed with other 10 case, and good association of actual arterial blood count and estimated arterial blood count was observed (r=0.700). In conclusion, corrected venous blood sampling ARG is valid and in the clinical use.

Key words: rCBF, IMP, A venous blood sampling, ARG

I はじめに

現在. 核医学を利用した脳血流測定の臨床的重 要性は確立している。わが国では IMP を利用し た持続動脈採血法1)がスタンダードであるが. 一 方、1 点動脈採血補正による ARG 法²⁾も多く用 いられ、スタンダード化されている。しかし、そ の手技は実施する病院施設など臨床現場において 煩雑性が高く医療スタッフへの大きな負担となっ ている。また、患者は検査にて動脈採血が必要で その侵襲性を伴う点も大きな欠点がある。そこで 低侵襲的な非採血法の検討^{3,4)}, また静脈採血を 持続動脈採血補正値とした検討^{5,6)}も報告されて いる。今回、ARG 法で実施されている 1 点動脈 採血の代わりに1点静脈採血を実施し、動脈血入 力を作成した推定関数を用いて静脈血による推定 入力へ代え、侵襲性の軽減を目的とした本方法の 可能性を検討した。

Ⅱ 対象と方法

1 対象

当院受診患者(倫理委員会)にて当該プロトコールが承認された2010年10月から2012年4月までの、脳血管障害等で¹²³I-IMPで脳血流定量検

査を施行しかつ、同意を得た延べ139例である。解析モデル確認用として無作為抽出59例(年齢、性別、重み付けなし)をグループ 1 とし、別に検証用 34 症例(術前・術後、Follow up 症例を含む)、男性 22 例(71.68 ± 7.01 y.o.)、女性 10 例(67.75 ± 8.53 y.o.)を抽出した。検証用 34 例から無作為に22 例抽出しグループ 2 、残りから 10 例無作為抽出しグループ 3 とした。 3 グループに分かれているが、すべてパソコンによる乱数割り当てを利用した無作為抽出である。

2 撮像と採血

IMP 222 MBq を患者に投与, 投与と同時に脳正面像を dynamic 収集59秒/1フレーム, (18フレーム) 計18分間施行。その後 (2分×10回転) 約21分間かけて SPECT 収集し, 43分時点で静脈採血を実施した。

使用 SPECT 機器は東芝社製 GCA-9300A (3 検出器), コリメータは LEHS を使用。SPECT 撮像条件はステップアンドシュート 2 分/ステップ角度 4 度×10回転にて撮像, 再構成は FBP を使用した。Matrix サイズは64×64で dynamic および128×128で SPECT 検査を施行した。採血条件は IMP 投与後10分後に 1 点動脈採血 3 ml, 43 分後に静脈採血 3 ml を実施した。それぞれを 1

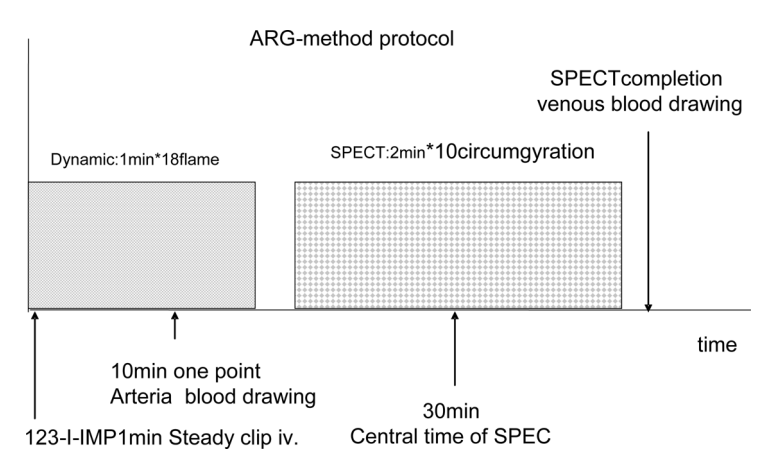


Fig. 1 Protocolof ¹²³I-IMP-ARG SPECT method. Durlng 18frame dynamic statistics by 1 min/1 frame and 10-frame dynamic SPECT by 2 min/1 spect with low-energy, highsensitivity collimator (LEHS: spatialresolution = 21. 3 mmin FWHM), the artery collecting blood was executed at the time of ten of the minute after the IMP vein had been administered. After the SPECT inspection had ended: the vein collecting blood was executed at the time of 23 of the minute.

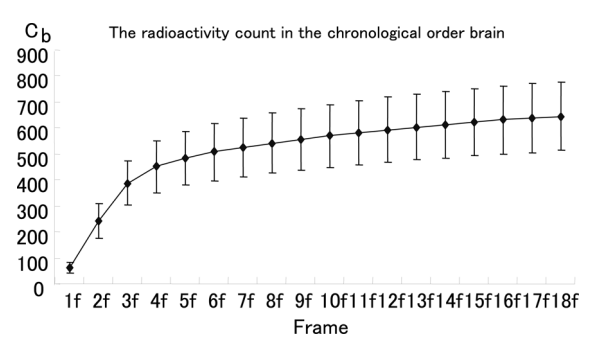


Fig. 2 The radioactivity chronological order change in the brain. The radioactivity chronological order amount of change in the brain is various in individuals.

ml シンチレーションカウンターにて測定した。また検証用グループ2,3 はそれぞれの採血時間に誤差を持つ。その誤差はARG 法で使用されるIMP の標準入力関数に、実測時間を代入し、10分採血補正比を求め、10分時採血カウントへ補正した。ARG 法の動脈血採血時間を入力し補正を行う逆変換である(Fig. 1)。各患者時系列脳内カウント変化と静脈血より動脈血カウント予測関数を重回帰分析で作成した(Fig. 2)。

3 回帰分析因子と解析

MIMURA⁶⁾ らより持続採血法での脳内因子と持続動脈採血カウントに因果性があることが報告されている。動脈採血カウント 5分(積分値)までの因子解析が、10分後(微分値)の1点採血を扱うARG 法へも INOUE らは応用できると報告しており、我々は時系列すべての因子を解析対象とした。採血時間補正はしていない。

はじめに、無作為抽出された59例(グループ
1)にて、重回帰分析をし、MIMURA、INOUE らの報告と検証した。モデルに対する因子評価には AIC(Akaike's Information Criterion)⁷⁾を利用し、残渣分析には Bland-Altman 分析⁸⁾を利用した。残りの34例から、無作為に22例(グループ
2)を抽出し、動脈血推測関数を作成した。作成された予測関数へ上記対象患者以外(最終的に抽出から残った)の10症例データ(グループ3)を代入し、採血時間補正を掛け理論値 Ca を算出し、実測値と比較検証した。

Ⅲ 結 果

モデル確認として実施したグループ1での結果 は、脳内変化量と静脈血から実測動脈血推定は非 常に高い相関であった (r=0.997)。またすべて の因子の正規性は条件を満たした。MIMURA ら と INOUE らは重回帰分析に使用する独立因子数 (説明因子) に違いがある。因子をまびき利用し た MIMURA ら、全因子を利用した INOUE らの 報告精度の頑強確認ができた。因子自体の検討で は、グループ1においてAIC 最小値は576.34で、 推測動脈血 $Ct = \beta X1ct + \beta X2ct + \beta X13ct + \beta$ 静脈 血 Ctで4因子使用が最適解であった。全因子を 用いた推測動脈血 $Ct = \beta X1ct + \beta X2ct + \beta X3ct +$ $\beta X4ct + \beta X5ct + \beta X6ct + \beta X7ct + \beta X8ct + \beta X9ct +$ $\beta X10ct + \beta X11ct + \beta X12ct + \beta X13ct + \beta X14ct +$ $\beta X15ct + \beta X16ct + \beta X17ct + \beta X18ct + \beta$ 静脈血 Ct のAIC 値は584.19であった。β は係数, X1~18 は撮像時フレーム番号を示す。Bland-Altman プ ロットでは、59例中3例が95%ラインを超え、残 差 Max 値は26.48%で過大算出傾向であった (Fig. 3) $_{\circ}$

次に残りの34例(グループ 2 および 3)での結果は、全因子使用で AIC = 340.87、r = 0.8873、動脈血 Ct = X1ct + X2ct + X3ct + X4ct + X5ct + X6ct + X7ct + X8ct + X9ct + X10ct + X11ct + X12ct + X13ct + X14ct + X15ct + X16ct + X17ct + X18ct + 静脈血 Ct であった。一方 AIC 最小解は AIC = 332.34 で動脈血 Ct = X15ct + 静脈血 Ct + X12ct であった(**Fig. 4**)。グループ 1 とグループ

Confirmation Examination by 59 patients

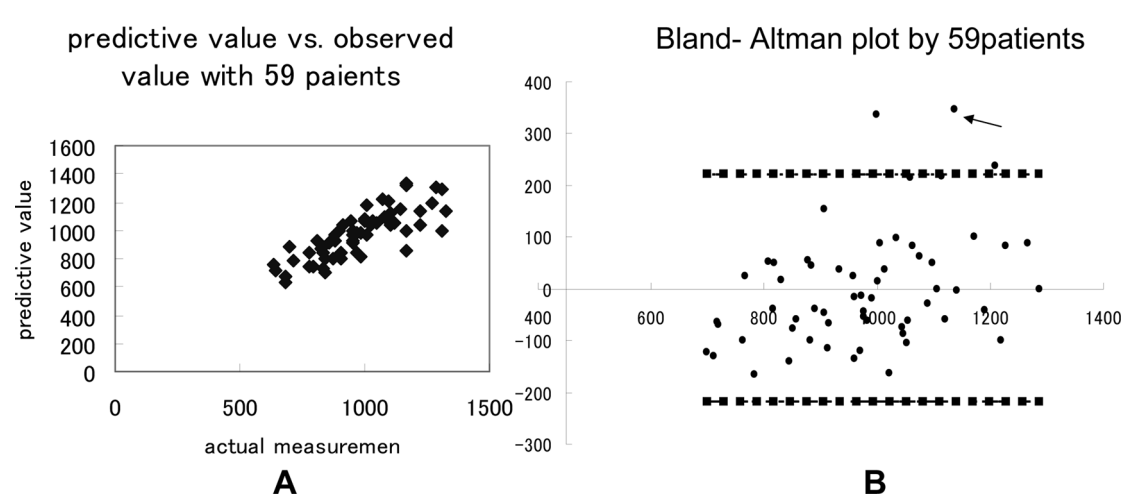


Fig. 3 We had A multiple regression analysis with group 1. A: Graph A is a correlation of actual value and guess level plot. The correlation of both is very high (r = 0.994). B: We evaluated a residual error using a Bland-Altman plot and plot the differences between predicted value and actual value and average. a is an actual value. b is a predicted value. Two differences assume it d. The X-axis is a difference of two measurements. The Y-axis is average of two measurements. Lower coefficient limit; LCL: (d (average) -1.96 × SDd (average) ±t × SELOA upper coefficient limit; UCL: (d (average) +1.96 × SDd (average)) ±t × SELOA. SD: Standard deviation. SE: Standard error. t: t value. LOA: limits of average. The dotted line is 95% confidence interval. The arrow is residual error max. Residual error max is 26.48%.

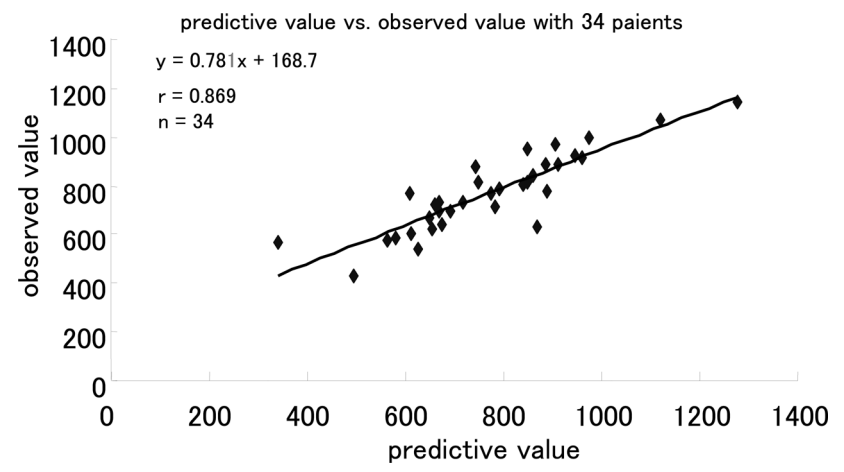


Fig. 4 Comparison of Ca values estimated by IMP planar dyanamic and dynamic SPECT and measured by actual dimension arterial blood count. Multiple linear regression analysisdependent variable is arterial blood count of arter multiple correlation. R=0.86945523, F=2.915352, R^2=0.75595240, df=17, 16, total case 34, conditioned R^2=0.49665183, p=0.018910, estimate value standard error 128. 42345537, intercept: -54.89682850, standard error 181.2616, t (16)=-0.3029, p=0.7659, venous blood Ct β =0.503, 1ct β =0.536, 2ct β =-1.7, 3ct β =1.57, 4ct β =-1.1, 5ct β =5.75, 6ct β =-0.32, 7ct β =2.82, 8ct β =-3.8, 9ct β =-2.6, 10ct β =-3.6, 11ct β =2.59, 12ct β =-3.3, 13ct β =-5.7, 14ct β =-3.4, 15ct β =6.53, 16ct β =5.87.

2 で AIC 最小を算出する因子に違いがあった。 また先のグループ 1 の AIC 結果とも差が生じた。 最後に検証用グループ 2 での脳内変化量と静脈 血から実測動脈血推定も非常に高い相関であっ た。全因子で r=0.9716, AIC=265.6。AIC 最小解は AIC=203.72, 動脈血 Ct=X1ct+X2ct+X6ct+X8ct+X9ct+X15ct+X16ct+X18ct+静脈血 Ct であった。

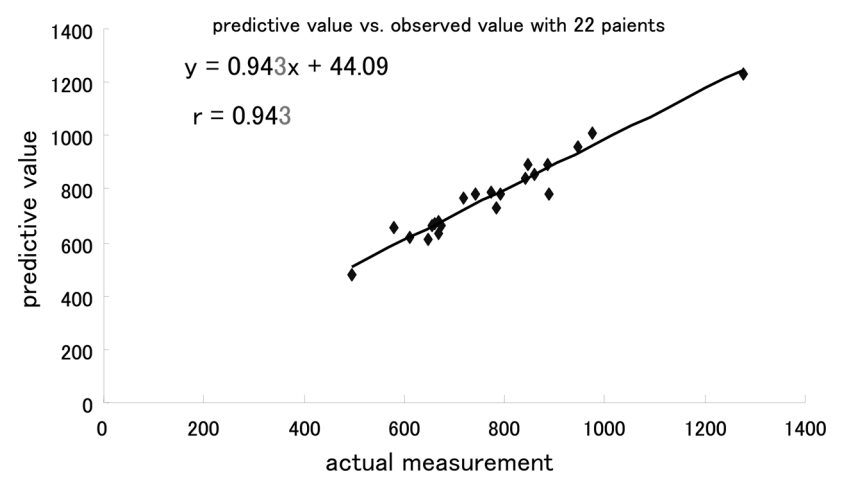


Fig. 5 Comparison of Ca values estimated by IMP planar dyanamic and dynamic SPECT and measured by actual dimension arterial blood count. Multiple linear regression analysis, multiple correlation R=0.9492, total case 22, ntercept -93.5463, Ct venous blood Ct 1.717351, $1ct\beta=8.600237$, $2ct\beta=-3.35945$, $3ct\beta=-5.65675$, $4ct\beta=-2.9062$, $5ct\beta=25.32406$, $6ct\beta=30.81213$, $7ct\beta=-3.15361$, $8ct\beta=-31.5362$, $9ct\beta=-31.6528$, $10ct\beta=-2.37351$, $11ct\beta=15.20801$, $12ct\beta=-11.2381$, $13ct\beta=-11.2181$, $14ct\beta=-6.75053$, $15ct\beta=24.55495$, $16ct\beta=38.3444$, $17ct\beta=-10.9336$, $18ct\beta=-15.2012$.

Confirmation Examination by 12patients

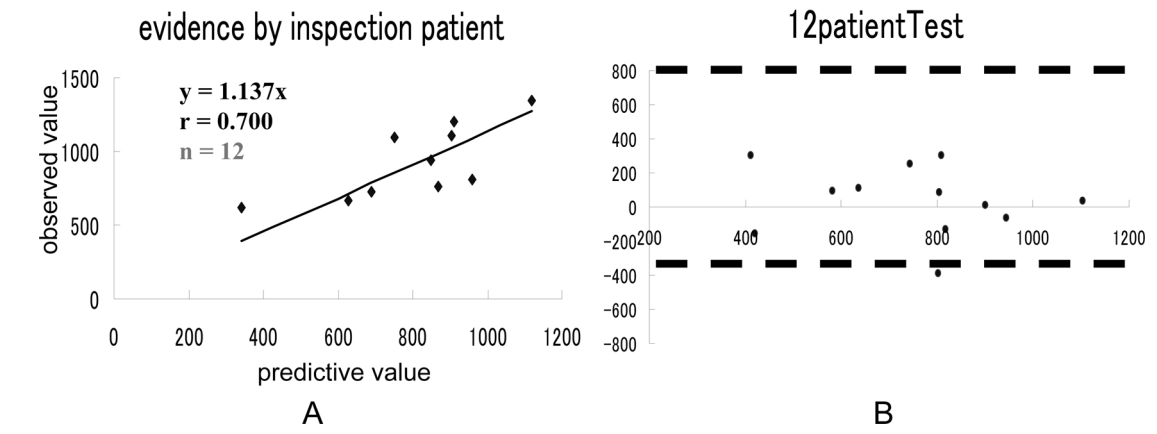


Fig. 6 Evidence by inspection patients. Patient data for a confirmation examination tests is the correlation that is high in an actual blood value and an assessed blood value when I use the simulation function. A: We substituted data of group 3 for a function calculated using group 2. The correlation of prediction and actual survey is high, and the inspection is a good result (r=0.700). B: We evaluated a residual error using a Bland-Altman plot and plot the differences between predicted value and actual value and average. The dotted line is 95% confidence interval.

脳循環予備能評価における ARG モデル1点動脈血, 1点静脈血補正法の検討(恒川,他)

全因子の係数は、切片: -54.89682850, 静脈血係数 $\beta = 0.503$, 脳内カウント係数は $1 \text{ct } \beta = 0.536$, $2 \text{ct } \beta = -1.7$, $3 \text{ct } \beta = 1.57$, $4 \text{ct } \beta = -1.1$, $5 \text{ct } \beta = 5.75$, $6 \text{ct } \beta = -0.32$, $7 \text{ct } \beta = 2.82$, $8 \text{ct } \beta = -3.8$, $9 \text{ct } \beta = -2.6$, $10 \text{ct } \beta = -3.8$

-3.6, 11ct $\beta = 2.59$, 12ct $\beta = -3.3$, 13ct $\beta = -5.7$, 14ct $\beta = -3.4$, 15ct $\beta = 6.53$ ී යි (**Fig. 5**) $_{\circ}$

グループ2で作成上記推定関数に検証用のグループ3を代入した結果は、非常に高い一致であ

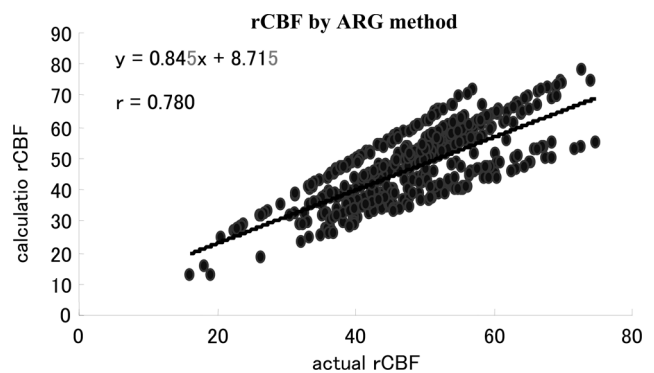
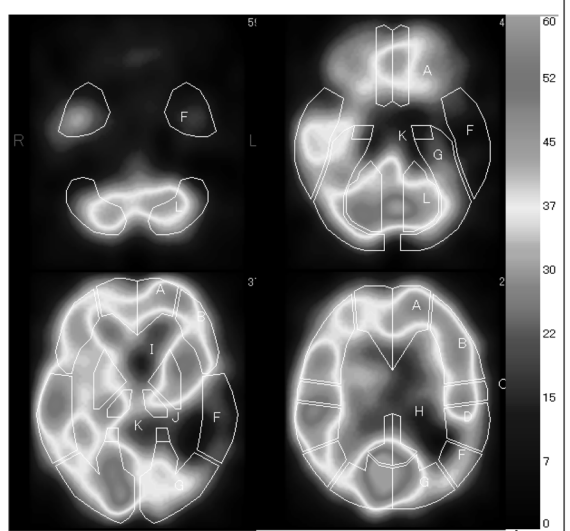
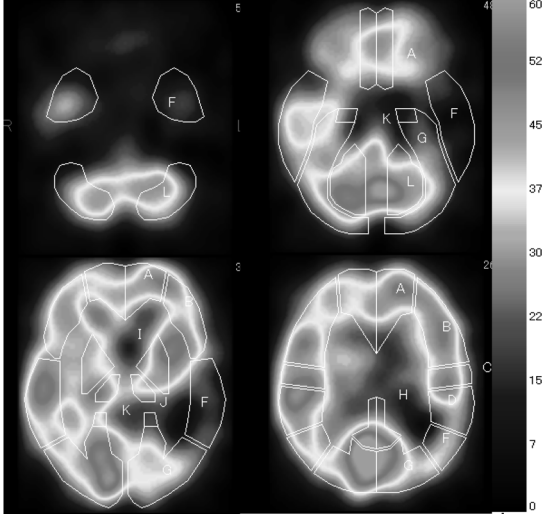


Fig. 7 The rCBF comparison between actual value and assessed value using the ARG method. Two groups rCBF by 12 patients with 3DSRT are very high correlation. Because, as for the reason why rCBF comes to have a big large when residual error be large, analytical method is the ARG method. The ARG method corrects high rCBF greatly, and the reason is because ARG uses quintic.



rCBF with 3DSRT using actual mea-Surement blood value.



rCBF with 3DSRT using assessed blood value.

Fig. 8 Patient 74 years old man case. The rCBF level does not have the difference between 2 methods. The diagnosis is the same, too.

り、その予測関数に10例のグループ3を代入し算出された動脈推定値と実測動脈血を比較検証したBland-Altmanプロット結果は95%信頼区間と重なった過小評価傾向1例のみであり、その他すべてが95%信頼区間オンライン内であった。Fig. 6は局所脳血流値の比較のため、ARG 法へ動脈血値を予測値と実測値をそれぞれ代入しrCBFを検証した。個人内的にも相関が高いが、群全体でも非常に高い相関を得た(Fig. 7)。

Ⅳ 症例提示(応用例)

実測動脈血カウントと推測カウント rCBF を提示する (Fig. 8)。症例は74歳, 男性で過去に左脳挫傷あり。2011/12/某日にトイレで転倒し,壁にもたれている状態で救急要請。到着時,会話がかみ合わないようであった。頭部 CT では左側頭葉脳表に特異的異常はなく出血等は無い。しかし,左片麻痺が出現し MRI にて右散在性ラクナ梗塞,3DCTA にて右中大脳動脈高度狭窄を認めた。即座にヘパリン治療を施行し数日後には辛い左手足は4/5 程度まで回復し,発言も独語ではあるが認められるようになった。その後,リハビリにて独歩可能となり,簡単な会話も可能となった。脳血流シンチにおいて脳血流は保たれており,翌年2月某日,自宅退院。所見は,静脈血補正推測法でも変わらない。

Ⅴ 考 察

採血を伴う、脳血流定量検査において低侵襲性は非常に重要である。ODANO らは、血中と細胞の薬剤動態モデルや、時系列の薬物動態解析を詳細に検討している。そのなかでも速度論は^{99m}Tc-ECD を利用し K1~K4 でモデル化され、関係が検証され、あわせて動静脈の関係を導いている⁸⁾。MS 法における 5 分持続動脈採血、全IMP 放射性薬剤濃度の個人因子の脳血流との因果モデルはすでに MIMURA らにより報告されており、この理論は、脳は時系列データとして観察する場合、20分から21分まで収集した(その意味では微分画像だが)正面画像 1 分間像の放射能量(count/pixel/min)は20分間かけて脳に蓄積した積分値の意味を持つ。血液データは時系列ではそのまま微分値となる。両者は速度と移動距離の関

係と同じような関係になり、動脈血中時系列変化は標準入力関数で、加速度に当てはまる。これを因果性モデルとしている。MIMURA の報告はMS法ので、動脈持続採血法がリファレンスとなる。それは、動脈血中の薬剤濃度は速度論において、いわゆる平均速度となり、積分データと微分データを直接写像する理論に基づく今回の我々の理論とは異なる。

しかし、INOUE⁹⁾ らは投与後10分時の動脈 1 点採血へも応用が可能であると報告した。我々の研究でも、INOUE の報告同様の結果が得られ、また、無作為に抽出した患者データから再度、重回帰式を作成しても精度が担保できた事、そのモデル式に無作為抽出患者データを当てはめた結果が非常に安定する事から考えると、微分値である静脈採血カウント(count/ml/min)が ARG 法での1点動脈採血カウント推定(標準入力関数で積分化)へ応用できる事を意味する。これは我々の本研究の前提と同じである。

脳内の放射能量 (count/pixel/min) はその時点 までの脳血流量にオクタノール抽出率が加味され た IMP 濃度を乗じた積算量. すなわち積分値 データであり、これを重回帰分析で多くの因子と して採用したことが、静脈が個人全体の薬物動態 量指標と推測でき、尚且つ変動中の1点動脈を推 定可能にしたと考える。このことは ODANO ら の報告の薬物動態力学と同じである。ARG 法を 応用した推測動脈血での rCBF も非常に相関があ り、残差分析からもモデルが破綻しないことが分 かる。重回帰分析を使用する本法は、一般統計で は AIC が最小になるような因子組み合わせが最 適解と扱うが、実測動脈血を推定する事が目標で ある事、使用する独立因子が患者間で、また時系 列で独立している事と、少数で補正式を作成した 場合、サンプルで最適因子解が変わることを合わ せ考え、また、Bland-Altman 分析の結果からも 全因子を説明に使った INOUE の報告は生物統計 としては正論と考える。今回は、得られた全因子 を使用する事を選択した。

Ⅵ 結 語

静脈と脳内変化量の重回帰分析で10分時1点実 測動脈カウントを推定し、ARG 法で rCBF を算

脳循環予備能評価における ARG モデル1点動脈血, 1点静脈血補正法の検討(恒川,他)

出する本方法は, 臨床応用への可能性が示唆できる。

REFERENCES

- Kuhl DE, Barrio JR, Huang SC, Selin C, Ackermann RF, Lear JL, et al: Quantifying local cerebral blood flow by N-isopropyl-p-[¹²³I] iodoamphetamine (IMP) tomography. J Nucl Med, 23: 196–203, 1982
- Iida H, Itoh H, Uemura K, et al: Quantitative mapping of regional cerebral blood flow using iodine-123-IMP and SPECT. J Nucl Med, 35: 2019–2030, 1993
- Fujioka H, Murase K, Inoue T, Ishimaru Y, Akamune A, Yamamoto Y, et al: A method for estimating the integral of the input function for the quantification of cerebral blood flow with ¹²³ I-IMP using one-point arterial blood sampling. Nucl Med Commun, 19: 561–566, 1998
- 4) Tomiguchi S, Tashiro K, Shhiraishi S, Yoshida M, Kawanaka K, Takahashi Y, Soma T and Yamashita Y: Estimation of ¹²³IMP areterial blood activity from dynamc planar imaging of the chest using a grapf plot method for the quantification of regional cerebral blood flow. Ann Nucl Med, 24: 387–393, 2010
- 5) Mimura H, Ono S, Fukunaga M, Morita K, Nagai K, Otsuka N, et al: The quantitative analysis of regional cerebral blood flow by peripheral venous sampling in

- single photon emission computed tomography using N-isopropyl-p-[123 I]iodoamphetamine: comparison with peripheral arterial sampling. KAKU IGAKU (Jpn J Nucl Med), 26: 1327–1334, 1989
- 6) Mimura H, Sone T, Takahashi Y, Yoshioka K, Murase K, Matuda H, Tomomitsu T and Fukunaga M: Measurement of regional cerebral blood flow with ¹²³I-IMP using one-point venous Blood sampling and causality analysis: Evaluation by comparison with conventional continuous arterial blood sampling. Ann Nucl Med, 20(9): 589–595, 2006
- Akaike H: "Information theory and an extension of the maximum likelihood principle", Proceedings of the 2nd International Symposium on Information Theory. Petrov BN and Caski F (eds.), Akadimiai Kiado, Budapest: 267–281, 1973
- Bland M and Altman DG: Statistical methods for assessing agreement between two methods of clinical measurement. Lancet, 307–310, 1986
- Odano I, Ohkubo M and Yokoi T: Noninvasive quantification of cerebral blood flow using ^{99m} Tc-ECD and SPECT. J Nucl Med, 40: 1737–1744, 1999
- 10) Inoue T, Fujimura M, Shimizu H, Takahashi Y and Tominaga T: Quantitative assessment of cerebral hemodynamics using single photon emission computed tomography with venous blood sampling. Clin Neurol Neurosurg, 115: 684-689, 2013